
数值计算方法在翼型实验中的应用

——翼型坐标插值、拟合出轮廓曲线

摘要：本案例给出了数值计算方法在翼型试验中的应用，依托实际背景以及物理意义，依照翼型坐标数据，通过插值方法，拟合翼型轮廓曲线。在求解过程中，为对比各种差值方法的有效性和准确性，采用了 Lagrange 插值、Newton 插值、分段线性插值、分段三次 Hermite 插值以及三次样条插值进行数值实验。

该案例有助于加深学生对《数值分析》课程中插值算法的理解，并提升其数值计算的能力，也适用于学生针对获得的数据，进行数据分析和拟合。

关键词：翼型实验，数值计算方法，插值方法。

1 背景介绍

1.1 飞机机翼翼型的重要性

飞机要实现飞行，首先依靠机翼的升力。那么升力是怎样产生的呢？这就是人们熟知的伯努利原理：水与空气等流体，流速大的地方，压强小；流体流速小的地方，压强大。把机翼纵向剖开，会形成一个翼截面或翼剖面，在航空上称翼型。当空气流过机翼时，气流会沿上下表面分开，并在后缘处汇合。上表面弯曲，气流流过时走的路程较长，下表面较平坦，气流的行程较短。上下气流最后要在一处汇合，因而上表面的气流必须速度较快，才能与下表面气流同时到达后缘。根据伯努利原理，上表面高速气流对机翼的压力较小，下表面低速气流对机翼压力较大，从而产生了一个压力差，也就是向上的升力。

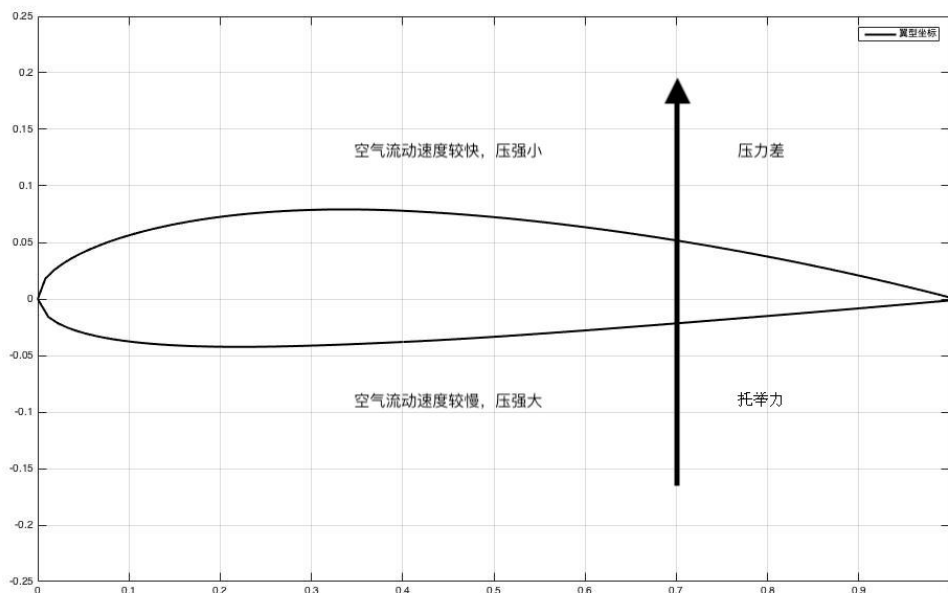


图 1 翼型原理

机翼的翼型选择是机翼设计的关键，优秀的翼型能为飞机在不同飞行状态下提供良好的升力，由此，在机翼设计的不同历史时期，出现了不同类型的翼型。

1.2 翼型数值实验的意义

数值计算方法经常用于飞机外形的设计，尤其是翼型。飞机的制造耗资巨大，在设计过程中必须确定该型飞机的最主要飞行状态，设计师根据其飞行状

态再为其选择最合适的翼型，并不是单独追求某个性能的最优，而是反复权衡比较之后的整体性能最优，是一项关联复杂、逻辑严密的系统工程，因此，设计之初的模型实验必不可少，如何保证模型的数据可以应用到真实飞机上呢？本案例通过采集的翼型数据，采用插值方法拟合出翼型轮廓曲线。

换言之，翼型实验的意义在于，通过实验手段测量可用的翼型数据及其系数，飞机总设计师根据实验结果，结合飞机整体需求选择最合适的翼型。由此可见，通过插值方法，拟合出翼型轮廓曲线在工程中具有很重要的意义。

2 案例内容

在此案例中，我们通过现有的翼型模型，获得翼型坐标数据；根据翼型坐标数据，采用 Lagrange 插值、Newton 插值、分段三次 Hermite 插值、分段线性插值以及三次样条插值进行数值实验，获得较为准确的翼型轮廓曲线。

2.1 翼型坐标数据

本案例研究 NACA2412 翼型的 1 米模型，翼型的数据见附录表格，翼型数据坐标散点图如图 2 所示，已知翼型轮廓线上的部分数据，为了得到经过这些已知数据点的轮廓曲线，接下来通过插值方法，拟合出翼型轮廓曲线。

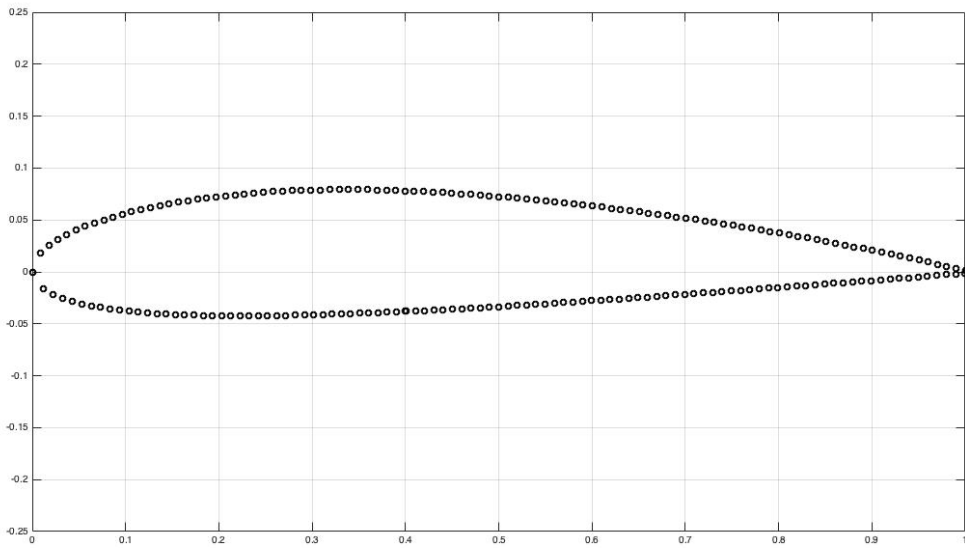


图 2 NACA2412 翼型数据

2.2 插值方法概述

已知 $n+1$ 个数据节点 $x_0 < x_1 < \dots < x_n$, 函数值 $f(x_i) = y_i, i = 0, 1, \dots, n$, 则可构造以下插值方法:

(1) Lagrange 插值多项式

已知 n 次插值基函数

$$l_i(x) = \prod_{\substack{j=0 \\ j \neq i}}^n \frac{(x - x_j)}{(x_i - x_j)}, i = 0, 1, \dots, n,$$

则 Lagrange 插值多项式为:

$$L_n(x) = \sum_{i=0}^n y_i l_i(x).$$

(2) Newton 插值多项式

由差商的定义,

$$f[x_0, x_1, \dots, x_k] = \frac{f[x_0, \dots, x_{k-2}, x_k] - f[x_0, \dots, x_{k-1}]}{x_k - x_{k-1}},$$

可得差商表:

x_k	$f(x_k)$	一阶差商	二阶差商	三阶差商
x_0	$f(x_0)$			
x_1	$f(x_1)$	$f[x_0, x_1]$		
x_2	$f(x_2)$	$f[x_1, x_2]$	$f[x_0, x_1, x_2]$	
x_3	$f(x_3)$	$f[x_2, x_3]$	$f[x_1, x_2, x_3]$	$f[x_0, x_1, x_2, x_3]$
\vdots	\vdots	\vdots	\vdots	\vdots

由此可得 Newton 插值多项式为:

$$N_n(x) = f(x_0) + f[x_0, x_1](x - x_0) + f[x_0, x_1, x_2](x - x_0)(x - x_1) \dots + \\ f[x_0, x_1, \dots, x_n](x - x_0) \dots (x - x_{n-1}).$$

(3) Hermite 插值多项式

插值多项式 $H(x)$ 满足: $H(x_i) = f(x_i), H'(x_i) = f'(x_i), i = 0, 1, 2, \dots, n$. 若取 2 个节点, 则可构造 3 次 Hermite 插值多项式, $H_3(x) = f(x_0)\alpha_0(x) +$

$f(x_1)\alpha_1(x) + f'(x_0)\beta_0(x) + f'(x_1)\beta_1(x)$, 其中,

$$\begin{aligned}\alpha_0(x) &= \left(1 + 2\frac{x - x_0}{x_1 - x_0}\right) \left(\frac{x - x_1}{x_0 - x_1}\right), \\ \alpha_1(x) &= \left(1 + 2\frac{x - x_1}{x_0 - x_1}\right) \left(\frac{x - x_0}{x_1 - x_0}\right)^2, \\ \beta_0(x) &= (x - x_0) \left(\frac{x - x_1}{x_0 - x_1}\right)^2, \\ \beta_1(x) &= (x - x_1) \left(\frac{x - x_0}{x_1 - x_0}\right)^2.\end{aligned}$$

(4) 分段线性插值

通过相邻两个插值节点做线性插值, 则有

$$y = f(x_i) + \frac{(f(x_{i+1}) - f(x_i))(x - x_i)}{(x_{i+1} - x_i)}, \quad x \in [x_i, x_{i+1}], i = 0, 1, \dots, n-1.$$

(5) 三次样条插值

三次样条插值函数 $S(x)$ 满足插值条件 $S(x_i) = f(x_i), i = 0, 1, 2, \dots, n$, 并且在每个子区间 $[x_i, x_{i+1}]$ 上, $S(x)$ 都是次数不大于 3 次的多项式, 在整个区间 $[x_0, x_n]$ 上有二阶的连续导数。

我们可采用上述插值算法对翼型坐标进行插值, 然后拟合出轮廓曲线。

2.3 插值方法数值实验

一般情况下, 当插值节点数目较多时, Lagrange 插值、Newton 插值会出现龙格现象, 即在区间边缘出现的振荡现象, 如图 3 和图 4 所示, 由于采用了高次插值, 图中出现了非常明显的龙格现象, 并且无法收敛。

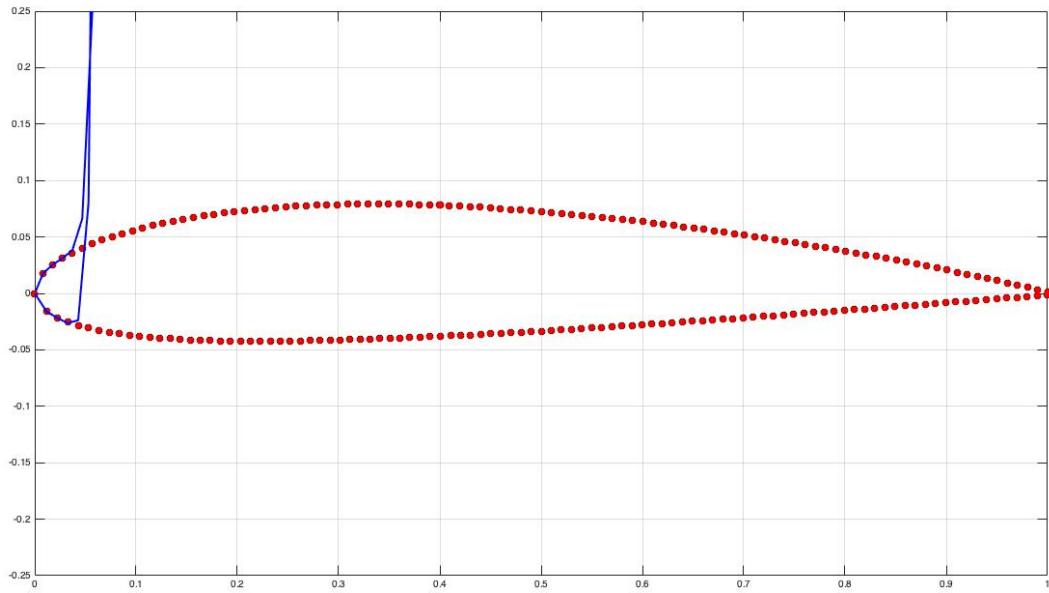


图 3 Lagrange 插值方法

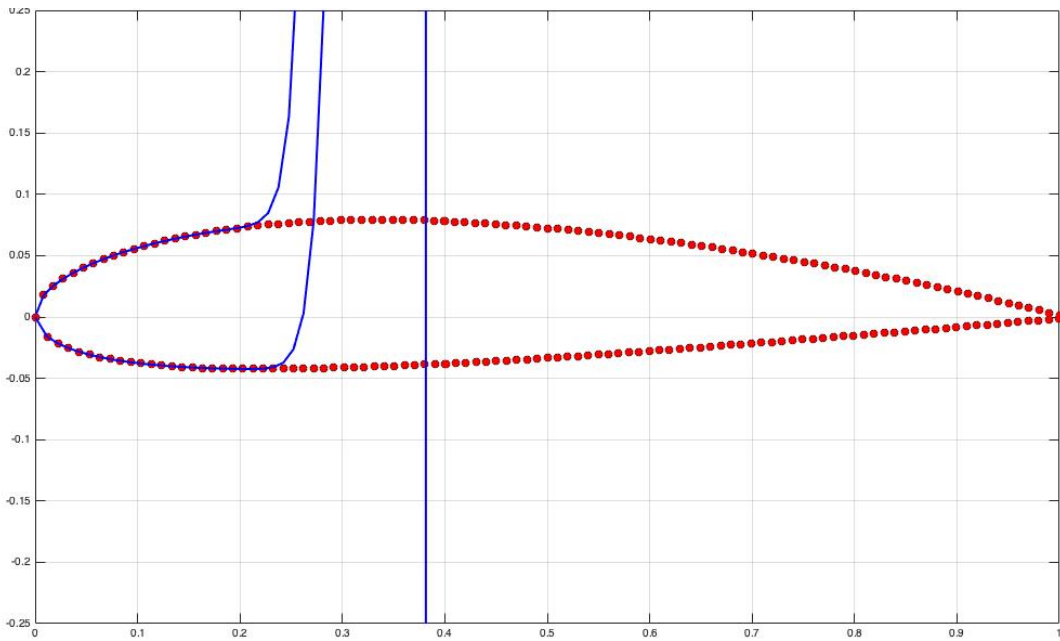


图 4 Newton 插值方法

而采用分段线性插值时，函数光滑性较差。对于当前问题，分段线性插值可以简单地看作将各点连线，数值结果如图 5 所示，图中可见翼型的光滑性较差。

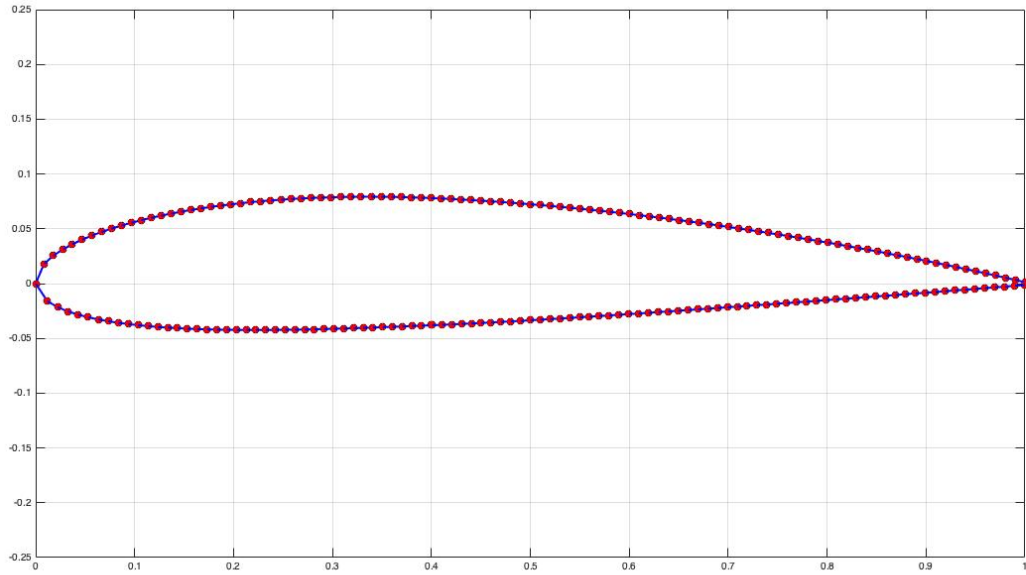


图 5 分段线性插值方法

因此，为了消除龙格现象，并提高翼型的光滑性，我们采用分段三次 Hermite 插值，数值结果如图 6 所示，由图可见翼型的光滑性得到了提升。

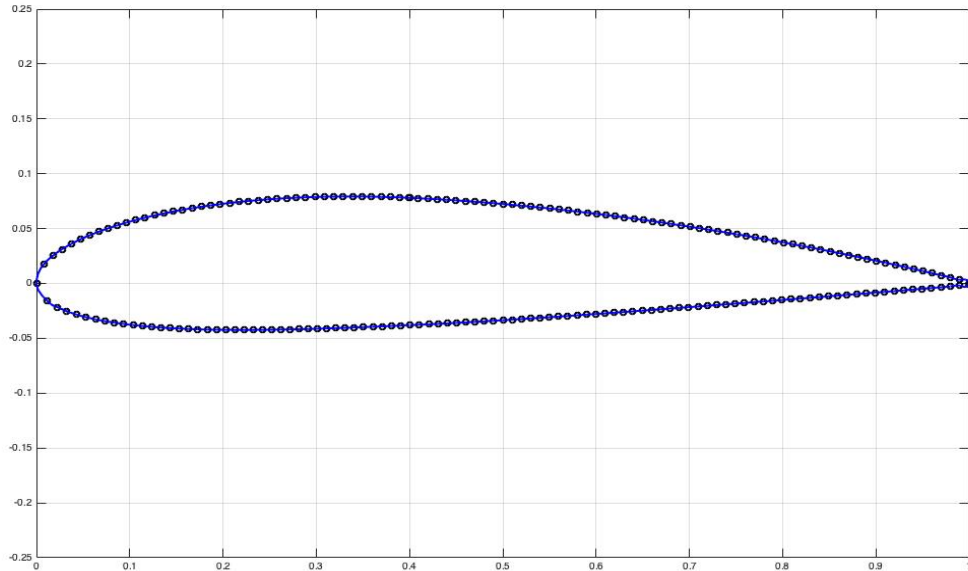


图 6 分段三次 Hermite 插值方法

为了达到二阶连续光滑度，我们可以采用三次样条插值，数值结果如图 7 所示，由图可见翼型的光滑性得到了进一步提升。

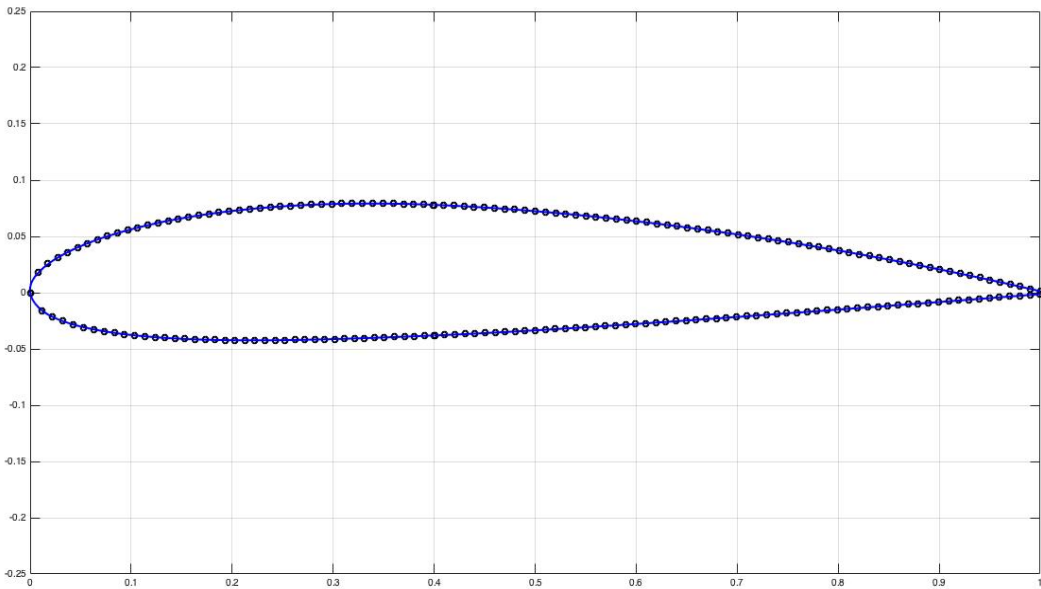


图 7 三次样条插值方法

目前的数值结果，可以用于后续翼型升力系数积分求解，进一步测量翼型的飞行数据。

2.4 结论

在求解过程中采用了 Lagrange 插值、Newton 插值、分段三次 Hermite 插值、分段线性插值以及三次样条插值方法，来对比各种差值方法的有效性和准确性，一般认为插值多项式的次数越高，逼近原函数的精度越好，但实际上并非如此，因为对于任意的插值节点，当 $n \rightarrow \infty$ 时，插值多项式不一定收敛于原函数，由此可能产生龙格现象，使得插值结果随着插值次数变高越来越偏离结果。为了解决这种情况，引入了分段插值方法。分段线性插值方法是对相邻插值节点进行连线，相比于此，分段三次 Hermite 插值可以达到一阶导数连续，三次样条插值可以达到二阶导数连续，得到的翼型的光滑性明显改善。

3 附录

在此案例中，我们通过现有的翼型模型，获得翼型坐标数据，供数值实验使用。

基于 NACA 的翼型设计模型，它是依据理想流动理论和风洞吹风数据，通过对一系列性能好的翼型拟合所得到，用户可以自定义最大弯度 (m)、最大弯度位置 (p) 和最大厚度 (t) 3 个参数，生成相应的翼型，具体参数如图 1 所示。如模型 NACA2412，其含义为：第一个数字 2 表示最大弯度 (m) 为弦长的 2%，第二个数字 4 表示最大弯度位置 (p) 为弦长的 40%，后两个数字 12 表示最大厚度 (t) 为弦长的 12%。

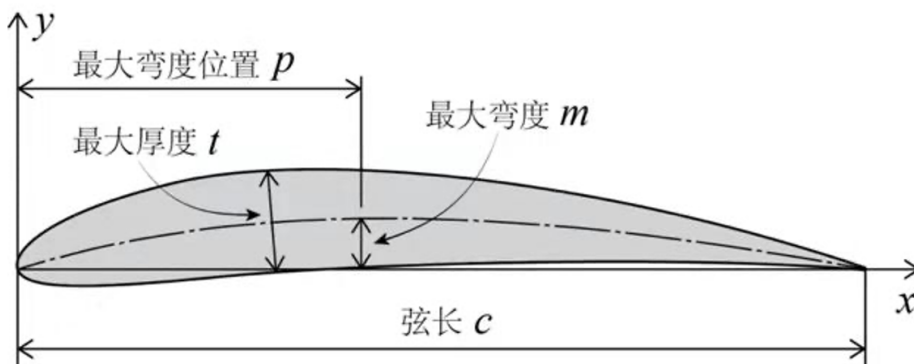


图 8 NACA 翼型图

厚度和弯度的分布规律如下：

弯度分布用中心线的 y_c 坐标表示：

$$y_c = \frac{m}{p^2} (2px - x^2), \quad 0 \leq x \leq p,$$

$$y_c = \frac{m}{(1-p)^2} [(1-2p) + 2px - x^2], \quad p \leq x \leq c.$$

厚度分布用半厚度 y_t 表示：

$$y_t = \frac{t}{0.2} (0.2969x^{0.5} - 0.1260x - 0.3516x^2 + 0.2843x^3 - 0.1015x^4).$$

进一步可给出翼型上下表面的曲线表达式：

$$x_{upper} = x - y_t \sin \theta,$$

$$y_{upper} = y_c + y_t \cos \theta,$$

$$x_{lower} = x + y_t \sin \theta,$$

$$y_{lower} = y_c - y_t \cos \theta,$$

$$\theta = \arctan \left(\frac{dy_c}{dx} \right).$$

在此尝试的是 NACA2412 翼型的 1 米模型，根据模型得到翼型数据源。
 (数据说明： $xs1$ - $ys1$, $xs2$ - $ys2$, $xx1$ - $yx1$, $xx2$ - $yx2$ 为四组对应的翼型坐标，其中
 $xs1$ - $ys1$, $xs2$ - $ys2$ 表示翼型的上半部分，由 x_{upper} , y_{upper} 得到， $xx1$ - $yx1$, $xx2$ - $yx2$
 表示翼型的下半部分，由 x_{lower} , y_{lower} 得到。)

$xs1$	$ys1$	$xs2$	$ys2$	$xx1$	$yx1$	$xx2$	$yx2$
0.000000	0.000000	0.399356	0.078028	0.000000	0.000000	0.400644	-0.038028
0.008347	0.017944	0.409424	0.077635	0.011653	-0.015969	0.410576	-0.037646
0.017768	0.025442	0.419492	0.077202	0.022232	-0.021542	0.420508	-0.037247
0.027384	0.031168	0.429559	0.076730	0.032616	-0.025393	0.430441	-0.036830
0.037107	0.035947	0.439625	0.076218	0.042893	-0.028347	0.440375	-0.036396
0.046901	0.040099	0.449690	0.075669	0.053099	-0.030724	0.450310	-0.035947
0.056750	0.043788	0.459755	0.075083	0.063250	-0.032688	0.460245	-0.035483
0.066640	0.047112	0.469818	0.074461	0.073360	-0.034337	0.470182	-0.035006
0.076565	0.050135	0.479880	0.073804	0.083435	-0.035735	0.480120	-0.034515
0.086519	0.052902	0.489941	0.073112	0.093481	-0.036927	0.490059	-0.034012
0.096498	0.055447	0.500000	0.072387	0.103502	-0.037947	0.500000	-0.033498
0.106498	0.057793	0.510058	0.071628	0.113502	-0.038818	0.509942	-0.032973
0.116517	0.059960	0.520115	0.070838	0.123483	-0.039560	0.519885	-0.032438
0.126552	0.061965	0.530170	0.070015	0.133448	-0.040190	0.529830	-0.031893
0.136602	0.063819	0.540223	0.069161	0.143398	-0.040719	0.539777	-0.031339
0.146666	0.065535	0.550275	0.068277	0.153334	-0.041160	0.549725	-0.030777
0.156741	0.067121	0.560325	0.067362	0.163259	-0.041521	0.559675	-0.030206
0.166826	0.068584	0.570373	0.066418	0.173174	-0.041809	0.569627	-0.029629
0.176921	0.069932	0.580420	0.065445	0.183079	-0.042032	0.579580	-0.029045
0.187024	0.071170	0.590464	0.064443	0.192976	-0.042195	0.589536	-0.028454
0.197135	0.072304	0.600507	0.063413	0.202865	-0.042304	0.599493	-0.027857
0.207252	0.073338	0.610547	0.062355	0.212748	-0.042363	0.609453	-0.027255
0.217375	0.074277	0.620586	0.061269	0.222625	-0.042377	0.619414	-0.026647
0.227504	0.075125	0.630622	0.060157	0.232496	-0.042350	0.629378	-0.026035
0.237637	0.075884	0.640656	0.059018	0.242363	-0.042284	0.639344	-0.025418
0.247774	0.076558	0.650688	0.057852	0.252226	-0.042183	0.649312	-0.024796
0.257914	0.077151	0.660718	0.056660	0.262086	-0.042051	0.659282	-0.024171
0.268057	0.077663	0.670745	0.055442	0.271943	-0.041888	0.669255	-0.023542
0.278203	0.078099	0.680770	0.054199	0.281797	-0.041699	0.679230	-0.022910
0.288351	0.078460	0.690793	0.052930	0.291649	-0.041485	0.689207	-0.022275
0.298500	0.078749	0.700813	0.051636	0.301500	-0.041249	0.699187	-0.021636
0.308650	0.078967	0.710831	0.050317	0.311350	-0.040992	0.709169	-0.020995
0.318802	0.079116	0.720847	0.048973	0.321198	-0.040716	0.719153	-0.020351
0.328953	0.079199	0.730859	0.047604	0.331047	-0.040424	0.729141	-0.019704
0.339105	0.079216	0.740870	0.046211	0.340895	-0.040116	0.739130	-0.019055
0.349256	0.079170	0.750877	0.044793	0.350744	-0.039795	0.749123	-0.018404

0.359407	0.079061	0.760882	0.043350	0.360593	-0.039461	0.759118	-0.017750
0.369557	0.078892	0.770884	0.041884	0.370443	-0.039117	0.769116	-0.017095
0.379706	0.078663	0.780883	0.040392	0.380294	-0.038763	0.779117	-0.016437
0.389854	0.078376	0.790880	0.038877	0.390146	-0.038401	0.789120	-0.015777
0.400000	0.078031	0.800874	0.037337	0.400000	-0.038031	0.799126	-0.015115
		0.810864	0.035773			0.809136	-0.014450
		0.820852	0.034184			0.819148	-0.013784
		0.830837	0.032571			0.829163	-0.013115
		0.840819	0.030933			0.839181	-0.012444
		0.850798	0.029271			0.849202	-0.011771
		0.860773	0.027584			0.859227	-0.011095
		0.870746	0.025873			0.869254	-0.010417
		0.880715	0.024136			0.879285	-0.009736
		0.890681	0.022374			0.889319	-0.009052
		0.900643	0.020587			0.899357	-0.008365
		0.910602	0.018775			0.909398	-0.007675
		0.920558	0.016936			0.919442	-0.006981
		0.930510	0.015072			0.929490	-0.006283
		0.940459	0.013182			0.939541	-0.005582
		0.950403	0.011265			0.949597	-0.004877
		0.960345	0.009322			0.959655	-0.004167
		0.970282	0.007352			0.969718	-0.003452
		0.980216	0.005354			0.979784	-0.002732
		0.990145	0.003329			0.989855	-0.002007
		1.000071	0.001276			0.999929	-0.001276

4 参考文献

1. 李庆阳, 王能超, 易大义编, 数值分析, 清华大学出版社, 2008 年
2. 大飞机报《机翼那些事儿》
http://www.comac.cc/mjkp/xzs/201612/21/t20161221_4665263.shtml?from=timeline
3. 数值分析_维基百科 <https://zh.wikipedia.org/zh/数值分析>

5 Matlab 程序

%% NACA翼型

```
1 %NACA翼型
2 - clear;clc;
3 %定义弦长、厚度、弯度、弯度最大值所在弦长的相对位置
4 - c=1;t=0.12*c;
5 - p=c*0.4;f=c*0.02;
6 -
7 - x=0:1e-2:c;
8 - %y厚度表达式
9 - y=(t/0.20)*(0.29690.*sqrt(x)-0.12600.*x-0.35160.*x.*x+0.284330.*x.*x.*x-0.10150.*x.*x.*x.*x);
10 - % plot(x,y,'k','LineWidth',2);
11 - axis([0 c -0.25 0.25]);
12 - hold on;
13 - % plot(x,-y,'k','LineWidth',2);
14 - % legend('????')
15 - box on;grid on
16 -
17 - %分段绘出中弧线
18 - xz1=0:1e-2:p;
19 - yz1=(f/(p.*p)).*(2.*p.*xz1-xz1.*xz1);
20 - xz2=p:1e-2:c;
21 - yz2=(f/((1-p).*(1-p))).*((1-2.*p)+2.*p.*xz2-xz2.*xz2);
22 - % plot(xz1,yz1,'r','LineWidth',1);
23 - % plot(xz2,yz2,'r','LineWidth',1);
24 -
25 -
26 - %画出弦线
27 - % plot(x,x.*0,'b','LineWidth',1)
28 -
29 -
30 - %定义theta角
31 - theta1=atan((f/(p.*p)).*(2.*p-2.*xz1));
32 - theta2=atan(f/((1-p).*(1-p))).*((1-2.*p)+2.*p-2.*xz2);
33 -
34 - %厚度的分段表达式
35 - yt1=(t/0.20)*(0.29690.*sqrt(xz1)-0.12600.*xz1-0.35160.*xz1.*xz1+0.284330.*xz1.*xz1.*xz1-0.10150.*xz1.*xz1.*xz1);
36 - yt2=(t/0.20)*(0.29690.*sqrt(xz2)-0.12600.*xz2-0.35160.*xz2.*xz2+0.284330.*xz2.*xz2.*xz2-0.10150.*xz2.*xz2.*xz2);
```

```

38
39 %最终成果
40
41 %x上和y上 (分段绘出)
42 - xs1=xz1-yt1.*sin(theta1);
43 - ys1=yz1+yt1.*cos(theta1);
44 % plot(xs1,ys1,'k','LineWidth',2);
45 - plot(xs1,ys1,'ko','LineWidth',2);
46 - xs2=xz2-yt2.*sin(theta2);
47 - ys2=yz2+yt2.*cos(theta2);
48 % plot(xs2,ys2,'k','LineWidth',2);
49 - plot(xs2,ys2,'ko','LineWidth',2);
50
51 %x下和y下 (分段绘出)
52 - xx1=xz1+yt1.*sin(theta1);
53 - yx1=yz1-yt1.*cos(theta1);
54 % plot(xx1,yx1,'k','LineWidth',2);
55 - plot(xx1,yx1,'ko','LineWidth',2);
56 - xx2=xz2+yt2.*sin(theta2);
57 - yx2=yz2-yt2.*cos(theta2);
58 % plot(xx2,yx2,'k','LineWidth',2);
59 - plot(xx2,yx2,'ko','LineWidth',2);
60 % title('NACA2412');
61 % legend('中弧线','弦线','翼型坐标')
62 % legend('NACA2412')

```

%% Lagrange 插值方法

```

1 %输入m个节点的值(xi,yi)(i = 1,2, ..., n+1)输入行向量X 和Y
2 %可以得到拉格朗日插值多项式 L, 基函数 l, 系数向量 C, 系数矩阵 L1
3 [function [C,L,L1,l] = lagran1(X,Y)
4 - m = length(X); L = ones(m,m); %得到节点个数, 得到多项式系数m-1
5 - for k = 1 : m
6 -     V = 1;
7 -     for i = 1 : m
8 -         if k ~= i %取 i不等于 k
9 -             V = conv(V,poly(X(i))) / (X(k) - X(i)); %得到第k个节点对应的基函数
10 -        end
11 -    end
12 -    L1(k, :) = V; l(k, :) = poly2sym(V); %对应基函数记录到向量和矩阵中
13 - end
14 - C = Y * L1;
15 - L = Y * l; %对应基函数与函数值相乘
16 - hold on;
17 - plot(X,Y,'r*', 'Linewidth',2);
18 - hold on;
19 - plot(X,subs(L,X), 'b', 'Linewidth',2);
20 - hold on;
21 % legend('数据源','拉格朗日插值多项式');
22 % >> lagran1(xs1,ys1);
23 % >> lagran1(xs2,ys2);
24 % >> lagran1(xx1,yx1);
25 % >> lagran1(xx2,yx2);

```

%% Newton插值方法

```
1 %%求牛顿插值多项式
2 %输入的量:X是n+1个节点(xi,yi)(i = 1,2, ..., n+1)横坐标向量, Y是纵坐标向量,
3 %x是以向量形式输入的m个插值点, M在[a,b]上满足 | f~(n+1)(x) | ≤M
4 %注: f~(n+1)(x)表示f(x)的n+1阶导数
5 %输出的量: 向量y是向量x处的插值, 误差限R, n次牛顿插值多项式L及其系数向量C,
6
7 function [y,R,A,C,L] = Newton_fun(X,Y,x,M)
8 - n = length(X); %得到节点个数, 得到多项式系数n-1
9 - m = length(x); %得到要求的插值点的个数, 要求m个插值点
10 - for t = 1 : m %对应每一个插值点求值
11 -     z = x(t);
12 -     A = zeros(n,n); %差商的矩阵A
13 -     A(:,1) = Y'; %差商矩阵的第一列为对应Y的值
14 -     s = 0.0; p = 1.0; q1 = 1.0; c1 = 1.0;
15 -     for j = 2 : n
16 -         for i = j : n
17 -             A(i,j) = (A(i,j-1) - A(i-1,j-1))/(X(i)-X(i-j+1)); %对所有的差商求解
18 -         end
19 -         q1 = abs(q1*(z-X(j-1))); %为求误差, 绝对值的相乘
20 -         c1 = c1 * j; %?n?
21 -     end
22 -     C = A(n, n); q1 = abs(q1*(z-X(n))); %为求误差, 绝对值的相乘
23 -     for k = (n-1):-1:1
24 -         C = conv(C, poly(X(k)));%卷积, 将对角线上差商与对应基函数相乘
25 -         d = length(C);
26 -         C(d) = C(d) + A(k,k);%在最后一维, 也就是常数项加上新的差商
27 -     end
28 -     y(t) = polyval(C,z); %将第t个插值点对应的值计算得出
29 -     R(t) = M * q1 / c1; %得到对应误差
30 - end
31 - L = poly2sym(C);
32
33 - hold on;
34 - plot(X,Y, 'r*', 'Linewidth', 2);
35 - hold on;
36 - plot(X,subs(L,X), 'b', 'Linewidth', 2);
37 - hold on;
38 - % legend('数据源','牛顿插值多项式');
39 - % >> Newton_fun(xs1,ys1, xs1,1);
40 - % >> Newton_fun(xx1,yx1, xx1,1);
41 - % >> Newton_fun(xs2,ys2, xs2,1);
42 - % >> Newton_fun(xx2,yx2, xx2,1);
```

%% 分段线性插值方法

```
1  function y= T(x0,y0) %将x0、y0以向量形式输入
2  - n=length(x0); %通过向量的长度表示节点的数目
3  - for s=1:n-1
4  -     X(1)=x0(s);
5  -     X(2)=x0(s+1);
6  -     Y(1)=y0(s);
7  -     Y(2)=y0(s+1);
8  -     m = 2; L = ones(m,m); %得到节点个数, 得到多项式系数m-1
9  -     for k = 1 : m
10 -         V = 1;
11 -         for i = 1 : m
12 -             if k ~= i %取 i不等于 k
13 -                 V = conv(V,poly(X(i))) / (X(k) - X(i)); %得到第k个节点对应的基函数
14 -             end
15 -         end
16 -         L1(k, :) = V; l(k, :) = poly2sym(V); %对应基函数记录到向量和矩阵中
17 -     end
18 -     C = Y * L1;
19 -     L = Y * l; %对应基函数与函数值相乘
20 -     hold on;
21 -     plot(X,Y,'r*','LineWidth',2);
22 -     hold on;
23 -     plot(X,subs(L,X),'b','LineWidth',2);
24 -     hold on;
25 -     end;
26 -     hold on
27 -     % legend('数据源','分段线性插值多项式');
28 -     % >> T(xs1,ys1);
29 -     % >> T(xs2,ys2);
30 -     % >> T(xx1,yx1);
31 -     % >> T(xx2,yx2);
32 -
```

%% 分段三次Hermite插值方法

```
1 %function [m_matrix]=hermite3(x,y,y0,yn,x_value)
2 %% 输入值分配, x_input,y_input均为数组,y_0,y_n为x_0,x_n分别对应的一阶导数值
3 - x_input = x;
4 - y_input = y;
5 - y_0 = y0;
6 - y_n = yn;
7 %%
8 - [~,number] = size(x_input); %获取输入x_input的大小1xnumber
9 - delta_h = zeros(1,number-1); %给delta_h分配数组大小1x(number-1), 并全部初始化为0
10 - delta_f = zeros(1,number-1); %给delta_f分配数组大小1x(number-1), 并全部初始化为0
11 - lambda_ = zeros(1,number-2); %给lambda_分配数组大小1x(number-2), 并全部初始化为0
12 - miu = zeros(1,number-2); %给miu_分配数组大小1x(number-2), 并全部初始化为0
13 - e = zeros(1,number-2); %给e分配数组大小1x(number-2), 并全部初始化为0
14 % 计算delta_h、delta_f的值
15 - for i = 1:(number-1)
16 -     delta_h(i) = x_input(i+1) - x_input(i);
17 -     delta_f(i) = (y_input(i+1) - y_input(i))/ delta_h(i);
18 - end
19
20 %%计算lambda,miu,e
21 - for i=1:number-2
22 -     lambda_(1,i) = delta_h(1,i+1) / (delta_h(1,i+1) + delta_h(1,i));
23 -     miu(1,i) = 1 - lambda_(1,i);
24 -     e(1,i) = 3*(lambda_(1,i)*delta_f(1,i) + miu(1,i)*delta_f(1,i+1));
25 - end
26
27 - A = zeros(number-2,number-2); %初始化系数矩阵A, (n-2)*(n-2)
28 - B = zeros(number-2,1); %初始化系数矩阵B, (n-2)*1
29 %当i=1时
30 - A(1,1) = 2;
31 - A(1,2) = miu(1,1);
32 - B(1,1) = e(1,1) - lambda_(1,1) * v_0:
33
34 %当i=2:n-2时
35 - for i = 2:number-3
36 -     B(i,1) = e(1,i);
37 -     A(i,i-1) = lambda_(1,i);
38 -     A(i,i) = 2;
39 -     A(i,i+1) = miu(1,i);
40 - end
41 %当i=n-1时
42 - A(number-2,number-3) = lambda_(1,number-2);
43 - A(number-2,number-2) = 2;
44 - B(number-2,1) = e(1,number-2) - miu(1,number-2)*y_n;
45
46 %% 计算A的逆, A*B
47 - m_matrix = A\B;
48 - m = zeros(1,number);
49 - m(1,1) = y_0;
50 - m(1,number) = y_n;
51 - for i = 2:number-1
52 -     m(1,i) = m_matrix(i-1,1);
53 - end
```

```

55 -   for i =1:number-1
56 -     % 获取相邻两点间的插值函数
57 -     x_ = linspace(x_input(1,i),x_input(1,i+1));
58 -     s1 = y_input(1,i).*(x_-x_input(1,i+1)).^2.*((delta_h(1,i) + 2.* (x_- x_input(1,i)))./(delta_h(1,i).^3));
59 -     s2 = y_input(1,i+1).*(x_-x_input(1,i)).^2.*((delta_h(1,i) + 2.* (x_input(1,i+1) - x_))./(delta_h(1,i).^3));
60 -     s3 = m(1,i).*((x_- x_input(1,i+1)).^2).*((x_- x_input(1,i))./(delta_h(1,i).^2));
61 -     s4 = m(1,i+1).*((x_- x_input(1,i)).^2).*((x_- x_input(1,i+1))./(delta_h(1,i).^2));
62 -     s = s1 + s2 + s3 +s4;
63 -     % 判断输入的x属于哪个插值区间，满足则计算对应的f(x)的值
64 -     if x_value>x_input(1,i)&x_value<x_input(1,i+1)
65 -       s1_ = y_input(1,i)*((x_value-x_input(1,i+1)).^2)*(delta_h(1,i) + 2.* (x_value - x_input(1,i)))./(delta_h(1,i).^3);
66 -       s2_ = y_input(1,i+1)*((x_value-x_input(1,i)).^2)*(delta_h(1,i) + 2.* (x_input(1,i+1) - x_value))./(delta_h(1,i).^3);
67 -       s3_ = m(1,i)*((x_value - x_input(1,i+1)).^2)*(x_value - x_input(1,i))./(delta_h(1,i).^2);
68 -       s4_ = m(1,i+1)*((x_value - x_input(1,i)).^2)*(x_value - x_input(1,i+1))./(delta_h(1,i).^2);
69 -       s_ = s1_ + s2_ + s3_ +s4_;
70 -       % 绘制计算点的结果
71 -       plot(x_value,s_,'ro');
72 -     end
73 -     % 绘制每一段插值函数图像
74 -     plot(x_s,s,'b','Linewidth',2);
75 -     hold on;
76 -   end
77 -   %%%
78 -   % hermite3(xs1,ys1,1,0, xs1)
79 -   % hermite3(xs2,ys2,0,-1, xs2)
80 -   % hermite3(xx1,yx1,-1,0, xx1)
81 -   % hermite3(xx2,yx2,0,1, xx2)
82 -
83 -   % hermite3(xs1(2:41),ys1(2:41),1,0, xs1)
84 -   % hermite3(xs2,ys2,0,-1, xs2)
85 -   % hermite3(xx1(2:41),yx1(2:41),-1,0, xx1)
86 -   % hermite3(xx2,yx2,0,1, xx2)
87 -   % lx(1)=yx1(2);lx(2)=yx1(1);lx(3)=ys1(2),ly(1)=xx1(2);ly(2)=xx1(1);ly(3)=xs1(2);
88 -   % xx=-0.0160:0.005:0.0179
89 -   % ww = pchip(lx,ly,xx);
90 -   % plot(ww,xx,'b','Linewidth',2);
91

```

%% 三次样条插值方法

```

x_1=0.0083:0.001:0.4
x_2=0.0117:0.001:0.4
x2=0.4:0.001:1
ps1=spline(xs1(2:41),ys1(2:41),x_1);
plot(x_1,ps1,'b','Linewidth',2);
ps2=spline(xs2,ys2,x2);
plot(x2,ps2,'b','Linewidth',2);
px1=spline(xx1(2:41),yx1(2:41),x_2);
plot(x_2,px1,'b','Linewidth',2);
px2=spline(xx2,yx2,x2);
plot(x2,px2,'b','Linewidth',2);
lx(1)=yx1(2);lx(2)=yx1(1);lx(3)=ys1(2),ly(1)=xx1(2);ly(2)=xx1(1);ly(3)=xs1(2);
xx=-0.0160:0.00339:0.0179
ww = spline(lx,ly,xx);
plot(ww,xx,'b','Linewidth',2);

```